



آخمن علمی صنایع راه آهن ایران

AMNC

available online @ amnc.aut.ac.ir

نشریه علمی پژوهشی مواد پیشرفته و پوشش‌های نوین - ۲۵ (۱۳۹۷-۱۸۰۵)

بهینه سازی رفتار چرمگی در نانوکامپوزیت پلی لاکتیک اسید و نانو الیاف سلولز

آرمن ریسی پور شیرازی^۱، زاهد احمدی^۲، حمید گرمابی^۳

۱ دانشجوی کارشناسی ارشد، دانشکده مهندسی پلیمر و رنگ، دانشگاه صنعتی امیرکبیر، تهران، ایران

۲ استادیار، گروه مستقل شیمی، دانشگاه صنعتی امیرکبیر، تهران، ایران

۳ استاد، دانشکده مهندسی پلیمر و رنگ، دانشگاه صنعتی امیرکبیر، تهران، ایران



تاریخ دریافت:

۹۷/۰۹/۲۶

تاریخ پذیرش:

۹۷/۱۱/۲۹

ویژگی های پلی لاکتیک اسید مانند زیست تخریب پذیری دلیل اصلی توجه کاربران به این پلیمر در زمینه تولید محصولات مختلف گردیده است. از طرفی محدودیت های ساختاری منجر به کند شدن سرعت رشد مصرف این پلیمر شده است. در این میان بهبود خواص مکانیکی و چرمگی پلی لاکتیک اسید از طریق رویکرد اصلاح پلیمرها با نانو الیاف سلولزی اصلاح شده موفقیت آمیز بوده است. در این پژوهش به منظور بهبود سازگاری نانو الیاف با ماتریس پلی لاکتیک اسید، در مرحله اول سطح نانو الیاف سلولزی اصلاح شد. اصلاح نانو الیاف با دو روش استیله کردن با درجه استخلاف ۶۰ و اتصال پلی اتیلن گلیکول روی سطح نانو الیاف انجام گرفت. تغییر ساختار نانو الیاف سلولزی پس از اصلاح توسط آزمون های طیف سنجی تبدیل فوریه مادون قرمز (FTIR)، پراش اشعه ایکس (XRD) و گرماسنجی رویشی تفاضلی (TGA) مورد بررسی قرار گرفت. نتایج حاصل از آزمون XRD نشان داد میزان بلورینگی الیاف در اثر استیله شدن و اصلاح سطحی با پلی اتیلن گلیکول کاهش می یابد. سپس، نانو کامپوزیت های پلی لاکتیک اسید حاوی ۱ درصد وزنی از نانو الیاف استیله شده و نانو الیاف اصلاح شده با پلی اتیلن گلیکول به صورت مجزا و ترکیبی تهیه شد. نتایج نشان داد که افزودن نانو الیاف استیله شده به پلی لاکتیک اسید باعث ریز شدن بلورها و اضافه کردن نانو الیاف پیوند خورده با پلی اتیلن گلیکول باعث درشت شدن بلورهای ماتریس پلی لاکتیک اسید می شوند.



واژگان کلیدی

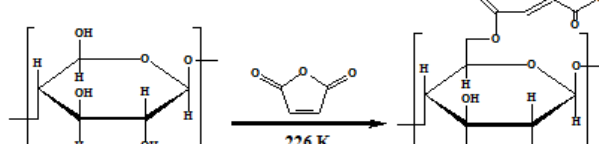
پلی لاکتیک اسید، نانو الیاف سلولزی، استیله کردن،
پلی اتیلن گلیکول، بلورینگی

(۱) مقدمه

پلی لاکتیک اسید به دلیل زیست سازگار بودن و زیست تخریب پذیر بودن، امکان کنترل سرعت تخریب و عدم ایجاد محصولات غیر سمی در اثر تخریب برای ساخت پیچ و مهره ها و ایمپلنت های پلیمری برای ثابت کردن استخوان های شکسته شده و دارست های پلیمری در بدن انسان مورد استفاده قرار می گیرد. خواص مکانیکی نسبتاً محدود پلی لاکتیک اسید کاربرد آن را به تنها بای در بدن محدود کرده است. از جمله ای این محدودیت ها می توان به شکننده بودن دارست های تهیه شده از این پلیمر اشاره کرد [۱۰-۱]. نانو الیاف سلولزی از جمله دیگر مواد غیر سمی و زیست تخریب پذیر برای بدن می باشد که در دهه های اخیر به دلیل خواص ایده اآل و قابلیت اصلاح آسان آن مورد توجه قرار گرفته اند [۱۶-۱۰]. علاوه بر حفظ زیست سازگاری و زیست تخریب پذیری، این نانو الیاف باعث بهبود چقمرمکی ماتریس پلیمری نیز می شوند [۱۷-۴۶]. نانو الیاف سلولزی به دلیل قطبیت بالا در ماتریس پلیمری تشکیل کلوخه داده و باعث افت خواص و ترد شدن نانو کامپوزیت تهیه شده می شوند. در روش استفاده از نانو الیاف استیله در ماتریس پلیمری چقمرمکی نمونه تهیه شده افزایش پیدا می کند ولی به دلیل افت شدید مدول و استحکام کاربردهای آن محدود می شود. هدف اصلی این فعالیت پژوهشی افزایش چقمرمکی و برای حفظ سایر خواص از جمله مدول و استحکام و ارتباط ساختار با خواص مکانیکی نانو کامپوریت تهیه شده می باشد. همچنین تلاش شده است که در کنار بهبود چقمرمکی پلی لاکتیک اسید، زیست سازگاری آن هم حفظ شود. از این راه، از نانو الیاف سلولزی برای بهبود چقمرمکی پلی لاکتیک اسید استفاده شده است. به این منظور از نانو الیاف زیست سازگار و زیست تخریب پذیر سلولزی استفاده شد و سطح این نانو الیاف با پلی اتیلن گلیکول اصلاح شد. ورود این نانو الیاف با ساختار بلورین کامل تر به داخل سامانه پلیمری به دلیل افزایش درصد بلورینگی و ضخیم شدن بلورهای ماتریس پلیمری می تواند از افت مدول و استحکام نمونه حاوی نانو الیاف استیله شده جلوگیری کند.

(۲) تجربی
(۱) مواد

پلی لاکتیک اسید (PLA) از شرکت نیچرور کس تهیه شد. پلی اتیلن گلیکول با وزن مولکولی ۲۰۰۰ از شرکت مرک تهیه شد. نانو سلولز استفاده شده از شرکت نانو نوبن پلیمر مازندران تهیه شد. سایر مواد استفاده شده شامل مالئیک اسیدرید، سدیم هیدروکسید، پتاسیم



شکل ۱: مکانیزم پیوند خوردن مالئیک اسیدرید روی نانو الیاف [۲۳]

ledo، میکروسکوپ الکترونی روبشی AIS2100، آنالیزگر خواص مکانیکی دینامیکی حرارتی Triton، پراش سنج اشعه ایکس، دستگاه تست کشش سنتام است. به منظور بررسی میزان پیوند خوردن مالئیک انیدرید بر روی نانو الیاف سلولزی از آزمون عدد اسیدی استفاده شد.

(۳) نتایج و بحث

در آزمون عدد اسیدی که یک نوع تیتراسیون معکوس است میزان مالئیک انیدرید پیوند خورده بر روی نانو الیاف سلولزی بر اساس خنثی شدنش به نسبت ۱ به ۱ با پاتسیم هیدروکسید اضافه شده با توجه به رابطه‌ی (۱) و (۲) بدست می‌آید [۴۷].

$$\text{Acid number} \left(\frac{\text{mg KOH}}{\text{g}} \right) = \frac{\text{mL KOH} \times \text{N KOH} \times 98.06}{\text{g cellulose}} \quad (1)$$

$$\% \text{MA} \left(\frac{\text{g MA}}{\text{g}} \right) = \frac{\text{Acid number} \times 98.06}{1 \times 561} \quad (2)$$

در این روش به سوسپانسیون نانو الیاف مالئیک شده پس از شستشو ۴۰ میلی لیتر محلول ۵٪ نرمال پاتسیم هیدروکسید در متابول اضافه شد. در ادامه سوسپانسیون را با هم زن مغناطیسی به مدت ۲ ساعت هم زده و سپس ۲۴ ساعت در یخچال قرار گرفت تا پاتسیم هیدروکسید با مالئیک پیوند خورده خنثی شد. در مرحله‌ی بعد به ظرف چند قطره فنول فتالین اضافه شد و آن با ۴۰ میلی لیتر محلول ۵٪ نرمال اسید کلریک تیر شد.

سطح نانو الیاف برای رسیدن به بیشترین درجه پیوند و در عین حال حفظ ساختار نانو الیاف مالئیک شد. درصد مالئیک شدن نانو الیاف با استفاده از رابطه‌ی (۱) و (۲) محاسبه شد و در جدول ۲ قرار داده شد. درجه‌ی استخالاف در نانو الیاف استیله شده (شکل ۲) با روش تیتراسیون معکوس تعیین شد.

وزن پلی اتیلن گلیکول استخراج شده توسط اتانول پس از خشک کردن توسط روابط ۳ و ۴ اندازه گیری شد. در این روابط A، حجم هیدروکسید سدیم مصرف شده (mL) در آزمون با نمونه، B، حجم هیدروکسید مصرف شده در آزمون بدون نمونه (mL)، C، حجم اسید

مقدارهای مشخصی از پلی اتیلن گلیکول به ازای ۱، ۰، ۰ گرم نانو الیاف مالئیک شده به سوسپانسیون اضافه شد. سپس سوسپانسیون حاصل به مدت ۴۴ ساعت در دمای ۸۰ °C توسط هم زن مغناطیسی هم زده شد. در حین هم خوردن چند قطره تتراهیدروفوران هم به ظرف نمونه اضافه شد و به مدت ۲۴ ساعت در یخچال قرار گرفت. نمونه‌های NP3، NP2، NP1

برای تهیه نانوکامپوزیتها، در این مرحله ۱، ۰ گرم سوسپانسیون حاوی نانو الیاف استیله شده و ۰، ۱ گرم سوسپانسیون حاوی نانو الیاف پیوند خورده با پلی اتیلن گلیکول تهیه شد. سپس برای هر دو سامانه، تبادل حلال به کلروفرم داده شد. با اضافه کردن کلروفرم حجم هر دو سوسپانسیون به ۳۰ میلی لیتر رسانده شد و هر کدام در طروف جداگانه به مدت ۴ دقیقه سونیکیت شدند. در مرحله‌ی بعدی ۰، ۹۹ گرم پلی لاکتیک اسید در ۱۵ میلی لیتر کلروفرم به مدت ۴ ساعت توسط هم زن، هم زده شد تا به طور کامل حل شود. سپس حجم‌های مختلف از سوسپانسیون‌های حاوی نانو الیاف استیله شده و پیوند خورده با پلی اتیلن گلیکول به پلی لاکتیک اسید محلول در کلروفرم اضافه شدند. به گونه‌ای که وزن نانو الیاف اضافه شده ۱٪ وزنی، فیلم‌ها نهایی را شامل شد. پس از اضافه کردن نانو الیاف به پلی لاکتیک اسید محلول در کلروفرم، نمونه‌ها به مدت ۲ دقیقه مجدداً سونیکیت شدند و بعد از آن برای جدا شدن حلال و تشکیل فیلم به مدت ۲۴ ساعت در دمای محيط قرار گرفتند. برای اطمینان از خروج تمامی کلروفرم موجود، تمامی نمونه‌ها به مدت ۱ هفته در آون خلا در دمای ۲۵ °C قرار گرفتند. به منظور بهبود پراکنش نانو الیاف سلولز در پلی لاکتیک اسید ۳ میلی لیتر استون به پلی لاکتیک اسید محلول در کلروفرم اضافه شد. کد و مشخصات نانو ذرات تهیه شده در جدول ۱ آورده شده است.

(۳) آزمون‌ها

دستگاه‌های مورد استفاده در این پژوهش طیف سنج مادون قرمز Metler-To-Bomem ساخت کانادا، گرماسنجدی روبشی تفاضلی

جدول ۱: مشخصات نمونه‌های تهیه شده

نمونه‌ها	ننانو الیاف سلولز (gr)	ننانو الیاف با پیوند خورده (gr) PEG	ننانو الیاف استیله شده (gr)	ننانو الیاف (gr)	پلی لاکتیک اسید خالص (gr)
P/CNF	0.01	-	-	-	0.99
P/AC CNF	-	0.01	-	-	0.99
P/ CNF-g-PEG	-	-	0.01	-	0.946
P/AC CNF & CNF-g-PEG	-	-	0.005	0.005	0.968

جدول ۲: درصد پیوند خوردن مالئیک انیدرید روی سطح نانو الیاف

نمونه‌ها	ننانو الیاف (gr)	مالئیک انیدرید (gr)	درصد پیوند خوردن مالئیک (gr)	PEG مورد تیاز برای پیوند خوردن (gr)
NM1	۰.۱	۱	۷.۹	۰.۱۶
NM2	۰.۱	۲	۱۷٪	۰.۳۱
NM3	۰.۱	۳	۲۴٪	۰.۴۴

زنجیرهای پلی اتیلن گلیکول روی سطح افزایش پیدا می کند. از طرف دیگر در مقادیر بالای مالئیک شدن (۲۴٪) فقط افزایش (۰،۳۱٪) در پیوند خوردن مشاهده شد، دلیل آن هم می تواند ایجاد ممانعت فضایی برای گروه های مالئیک آزاد موجود بر روی سطح و نواحی زیرین نانو الیاف در اثر زنجیرهای پلی اتیلن گلیکول پیوند خورده باشد. که باعث کور شدن گروه های مالئیک سطحی شده و از افزایش درصد پیوند خوردن جلوگیری می کنند. به همین دلیل درصد بالای مالئیک شدن سطح بالاتر از (۲۴٪) به دلیل تخریب نواحی بلورین کاهش طول و خواص مکانیکی الیاف افزایش کسر وزنی زنجیرهای پلی اتیلن گلیکول آزاد و افت خواص مکانیکی نانوکامپوزیت حاصله مطلوب نیستند. البته باید توجه داشت در این روش پیوند زدن (-graft-to) به دلیل حجمی بودن زنجیرهای پلیمر بازدهی بالای ندارد و دانسیته ای اتصالات تشکیل شده بروی سطح نسبت به روش (-graft-from) پایین تر می باشد. با توجه به دلایل بالا از نمونه NP3 در تهیه ای نانو کامپوزیت استفاده شد.

شکل (۳) طیف مادون قرمز نانو الیاف سلولز خالص و استیله شده را نشان می دهد. پیک های مشاهده شده در 3454 cm^{-1} و 2894 cm^{-1} به ترتیب مربوط به ارتعاشات کشنی گروه های هیدروکسیل آزاد مولکول سلولز و کشنی گروه های C-H سلولزی می باشد. همانطور که در شکل شکل (۳) (A-۳) مشاهده می شود پیک جذب مشاهده شده در 1161 cm^{-1} و 597 cm^{-1} به ترتیب مربوط به ارتعاشات کشنی غیر متقابران C-O و گروه های هیدروکسیل الكلی می باشد [۵۲-۱۷].

در طیف مادون قرمز نانو الیاف سلولزی استیله شده وجود گروه های استیله مشهود است. برای مثال کشنی مربوط به گروه های کربونیل C=O در ناحیه 1741 cm^{-1} و گروه های متیل (C=O)-CH₃- پیوند C-O یافته در ناحیه ۱۳۷۷ و کشنی مربوط به گروه های استیله در ناحیه 1245 cm^{-1} بیانگر ایجاد گروه های استیله در الیاف سلولز است. عدم حضور پیک جذب در ناحیه 1700 cm^{-1} که مربوط به گروه های کربوکسیل می باشد، بیانگر تمی بودن نانو الیاف استیله شده از استیک ایدرید به عنوان محصول جانبی می باشد [۵۳-۱۷].

عدم مشاهده پیک در محدوده 1800 cm^{-1} تا 1850 cm^{-1} نشان دهنده

کلریک در آزمون با نمونه (mL)، D حجم اسید کلریک بدون نمونه N_a نرمالیته ای اسید کلریک، N_b نرمالیته ای هیدروکسید سدیم و W وزن نمونه نانو الیاف سلولزی (g) است [۴].

$$\text{Acetyl(%) = } \frac{((D-C)N_a + (A-B)N_b * (4.035/W))}{W} \quad (3)$$

$$DS = \frac{(3.86 * \text{Acetyl(%)})}{(102.4 * \text{Acetyl(%)})} \quad (4)$$

درجه استخلاف (جاگزین شدن گروه های استیله به جای هیدروکسیل) و درصد استیله شدن با توجه به روابط (۳) و (۴) برای نانو الیاف استیله 13.77% بدست آمد. استیله کردن کمتر از ۴.۵٪ فقط منجر به استیله شدن زنجیرهای سطحی می شود [۱۴]. که تاثیر زیادی بر تخریب و ریز شدن الیاف ندارد ولی از این مقدار بالاتر، به دلیل استیله شدن زنجیرهای زیرین، تخریب نواحی بلورین و کاهش طول برای الیاف مشاهده می شود [۱۶-۱۷].

علاوه بر این، درصد پیوند خوردن بر اساس رابطه (۵) محاسبه شد.

$$\text{Grafting(%) = } \frac{(W - W_1)}{W} \quad (5)$$

بر اساس این رابطه W وزن پلی اتیلن گلیکول اضافه شده بر اساس میزان مالئیک شدن سطح و W_1 وزن پلی اتیلن گلیکول استخراج شده می باشد.

میزان پلی اتیلن گلیکول بر اساس عدد اسیدی نمونه های تهیه شده اضافه شده و از رابطه (۶) محاسبه شد.

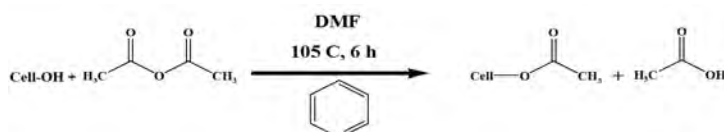
$$X(\text{gr PEG}) = \text{Acid number}^* \frac{1800}{98.06} \quad (6)$$

در این رابطه W وزن نانو الیاف بر حسب گرم و X میزان پلی اتیلن گلیکول مورد نیاز بر حسب گرم برای واکنش با گروه های مالئیک پیوند خورده بر روی نانو الیاف می باشد.

درصد پیوند زنجیرهای پلی اتیلن گلیکول روی سطح نانو الیاف، از طریق وزن کردن پلی اتیلن گلیکول حل شده در اتانولی که برای استخراج از فیلم نانو سلولزی استفاده شده بود، با استفاده از رابطه (۳) بدست آمد. که در جدول (۳) گزارش شده است.

مشاهده شد که با افزایش میزان مالئیک شدن سطح نانو الیاف، به دلیل ایجاد گروه های کربوکسیل سطحی، میزان پیوند خوردن

شکل ۲: مکانیزم استیله شدن سطح نانو الیاف سلولز به وسیله ای ایدرید استیک [۱۷-۱۳].



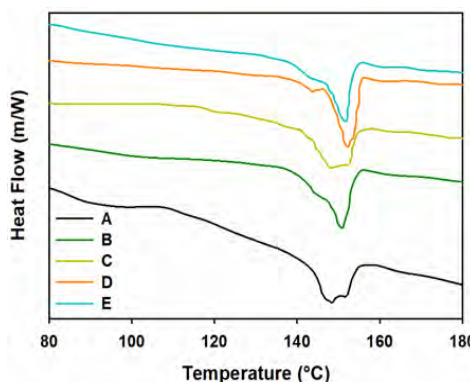
جدول ۳: درصد پیوند پلی اتیلن گلیکول بر روی سطح الیاف

نمونهها	نانو الیاف (gr)	مالئیک ایدرید (gr)	پلی اتیلن گلیکول (gr)	درصد پیوند خوردن	پلی اتیلن گلیکول (gr)	پلی اتیلن گلیکول (gr)	پلی اتیلن گلیکول (gr)
NP1	۰,۱	۱	۰,۱۶	۲۷٪	۰,۴۳		
NP2	۰,۱	۲	۰,۲۱	۲۸٪	۰,۱۱۸		
NP3	۰,۱	۳	۰,۴۴	۲۴٪	۰,۱۴۹		

استیله شدن پیوند های هیدروژنی بین نانو الیاف کاهش پیدا می کند بنابراین پراکنش نانو الیاف در ماتریس پلیمری بهبود پیدا می کند و سطح بیشتری از نانو الیاف در تماس با ماتریس پلیمری قرار می گیرند. در نانو کامپوزیت حاوی نانو الیاف پیوند خورده با پلی اتیلن گلیکول دمای شروع پیک به دماهای پایین تر منتقل شده است که می تواند نشان دهنده تشکیل کریستال های β بر اساس مشاهدات سینگ و همکاران در فصل مشترک باشد [۳]. در اثر ایجاد ممانعت فضایی حاصل از زنجیرهای پیوند خورده بر روی سطح نانو الیاف، پراکنش نانو الیاف در سامانه بهبود پیدا می کند. از طرف دیگر زنجیرهای پلی لاکتیک اسید در تماس با زنجیرهای پیوند خورده ای پلی اتیلن گلیکول بر روی سطح نانو الیاف قرار می گیرند. که باعث ایجاد یک فصل مشترک در سیستم می شود. که سطح نانو الیاف را به یک بستر مناسب برای تشکیل کریستال های β تبدیل می کند. به دلیل ناپایدار بودن زنجیرهای پلی لاکتیک اسید در کریستال های β از لحاظ ترمودینامیکی، این کریستال ها ناپایداری حرارتی کمی داشته و در دمای پایین تر نسبت به کریستال های α ذوب می شوند [۳].

در نمونه ای حاوی نانو الیاف استیله شده و پیوند خورده با پلی اتیلن گلیکول به نسبت های وزنی $0,5\%$ و 5% درصد بلور و دمای ذوب بلورها از نمونه ای P/AC CNF با لاتر و از نمونه ای P/CNF-g-PEG با پایین تر است که نشان می دهد وجود نانو الیاف استیله مانع رشد بلورها و وجود نانو الیاف پیوند خورده باعث رشد بلورها می شوند. یعنی می توان با استفاده از نانو الیاف استیله شده اندازه ای بلورها در نانو کامپوزیت پلیمری را کنترل کرد. از طرف دیگر پایین ماندن شروع دمای ذوب می تواند نشان دهنده ای وجود کریستال β در نمونه ای P/AC CNF & CNF-g-PEG باشد.

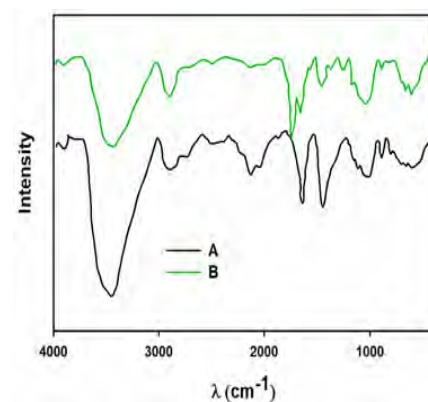
بررسی ضخامت بلورهای نانو کامپوزیت های تهیه شده و ارتباط آن ها با نانو الیاف با استفاده از پراش پرتو ایکس انجام شد. برای بررسی ضخامت کریستال ها از رابطه ای شریر استفاده شد. اضافه کردن نانوالیاف سلولزی به ماتریس پلیمری باعث افزایش شدت پیک در ۱۶۶۴ درجه برای تمامی نمونه ها شده است که نشان دهنده ای افزایش بلورینگی نانو کامپوزیت های تهیه شده می باشد. به استثنای



شکل ۴: منحنی های DSC رفت برای (A) پلی لاکتیک اسید خالص، (B) P/CNF و P/AC CNF & CNF-g-PEG (E) و P/ CNF-g-PEG (D) و P/AC CNF (C)

خروج مالئیک واکنش نداده در حین شست و شو از نانو الیاف می باشد. پیک مشاهده شده در محدوده 600 cm^{-1} می تواند مربوط به پیوندهای C-C ایجاد شده باشد. پیک جذب مشاهده شده در ناحیه 1722 cm^{-1} مربوط به ارتعاشات کششی C-O استری می باشد [۲۳] که حضور آن نشان دهنده افزایش پیوندهای استری در اثر پیوند خوردن زنجیرهای پلی اتیلن گلیکول با سطح نانو الیاف می باشد. افزایش ارتفاع و سطح زیر پیک در ناحیه 1060 cm^{-1} می تواند تایید کننده افزایش پیوندهای استری در اثر پیوند زنجیرهای پلیمر با سطح الیاف باشد [۵۴].

برای بررسی تاثیر نانو الیاف سلولزی بر روی بلورینگی ماتریس پلیمری از گرماسنجی روشی تفاضلی و پراش پرتو ایکس استفاده شد. نتایج حاصل از تست DSC مشاهده شد که با اضافه شدن نانوالیاف سلولزی به ماتریس پلیمری درصد بلورینگی و دمای ذوب نمونه ها افزایش می یابد. افزایش بلورینگی نانو کامپوزیت موجود و عدم مشاهده پیک کریستالیزاسیون سرد در برگشت می تواند نشان دهنده عملکرد هسته زا بودن نانو سلولز باشد، که باعث افزایش دانسیته هسته گذاری و افزایش درصد بلورینگی نمونه ها می شود. مشاهدات فوق با مشاهدات دینگ و سانگ مطابقت دارد [۳۶-۳۹]. پایین تر بودن دمای ذوب در نانو کامپوریت حاوی نانو الیاف سلولزی استیله شده نسبت به نانو کامپوزیت حاوی نانو الیاف سلولز می تواند نشان دهنده ریز شدن بلورهای نمونه ای AC CNF باشد. به طور کلی به دلیل پایین بودن سطح انرژی حرارتی زنجیرهای پلی لاکتیک اسید، روند هسته گذاری به دلیل بالا بودن سرعت هسته گذاری به سرعت در سیستم انجام می شود. با این حال، به دلیل پایین بودن سطح انرژی حرارتی زنجیرهای تحرکات زنجیری و رشد بلور به سختی انجام می شود. از طرف دیگر در روش حلالی، چون حلال خود به عنوان یک عامل نرم کننده عمل می کند باعث افزایش حجم آزاد در سامانه شده و در نتیجه موجب افزایش سطح انرژی حرارتی سامانه می شود. به همین دلیل بلورینگی پلی لاکتیک اسید کامل شده و در منحنی های DSC پیک کریستالیزاسیون (T_g) مشاهده نمی شود به استثنای نانو کامپوزیت حاوی نانو الیاف استیله شده. در این نمونه در اثر

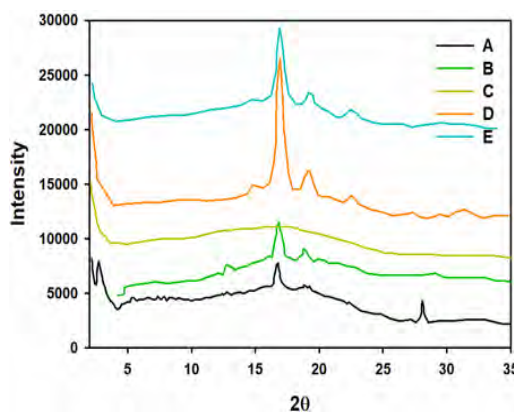


شکل ۵: طیف مادون قرمز (A) نانو الیاف سلولز (B) نانو الیاف استیله شده

درجه نشان دهندهی وجود کریستال های α در می باشد. البته باید توجه کرد که وجود نانو الیاف استیله شده در نمونه P/AC CNF & CNF-g-PEG & بلورینگی نمونه را نسبت به P/CNF-g-PEG محدود می کند.

جدول ۴ زاویه تماس را برای نانو الیاف سلولز و سلولز استیله شده نشان می دهد. نتایج نشان می دهد استیله کردن سطح نانو ذرات خواص سطح الیاف از آب دوست به آب گریز تغییر می دهد که می تواند نشان دهندهی بهبود سازگاری نانو الیاف با ماتریس پلی لاتکتیک اسید باشد.

تصاویر بدست آمده از میکروسکوپ الکترونی (شکل ۶) نشان داد که با اضافه شدن نانو الیاف سلولزی به ماتریس پلی لاتکتیک اسید، به دلیل عدم پراکنش مناسب نانو الیاف و تشکیل کلوخه، نمونه از خود رفتار شکننده نشان می دهد و سطح شکست کاملا صاف مشاهده می شود. با اضافه شدن نانو الیاف اصلاح شده به دلیل بهبود چقمرمکی ماتریس پلیمری، سطح شکست ناهموار برای نانو کامپوزیت های حاصل مشاهده می شود. برای نمونه های حاوی نانو الیاف سلولزی استیله شده، بیشترین میزان ناهمواری سطحی در تصاویر میکروسکوپی مشاهده می شود. در تصاویر SEM نمونه های سطحی کمتری مشاهده می شود. با پلی اتیلن گلیکول آزاد و زنجیرهای پلی لاتکتیک اسید باعث افزایش مشاهده می شود. در تصاویر SEM نمونه های سطحی کمتری مشاهده می شود. به دلیل پایین بودن درصد پیوند خوردن زنجیرهای پلی اتیلن گلیکول روی سطح نانو الیاف، وجود کلوخه در تصاویر SEM نمونه P/AC CNF & CNF-g-PEG مشاهده می شود که باعث ایجاد تمرکز تنفس در نمونه شده و مانع از رسیدن به ازدیاد طول های بالا می شود. از طرف دیگر تغییر



شکل ۵: منحنی های XRD رفت برای (A) پلی لاتکتیک اسید خالص، (B) P/CNF & CNF-g-PEG (C) P/ AC CNF & CNF-g-PEG (D) P/ AC CNF (E)

نمونه حاوی نانو الیاف سلولزی استیله شده که در طیف XRD آن هیچ پیکی مشاهده نشده است. عدم مشاهده پیک و یا پهن شدن شدید پیک در طیف نمونه حاوی نانو الیاف سلولزی استیله شده نشان دهندهی عدم بلورینگی نمونه یا باریک شدن شدید بلورهای نمونه ای مورد نظر می باشد. با توجه به نتایج DSC میزان بلورینگی برای نانو کامپوزیت P/AC CNF برابر با ۲۰٪ گزارش شده است. پس می توان نتیجه گرفت باریک شدن شدید بلورها و ریز شدن آن ها موجب عدم مشاهده پیک در طیف XRD برای نمونه های مورد نظر شده است. ریز شدن بلورها می تواند در اثر جذب زنجیرهای پلیمر بر روی نانو الیاف پس از استیله شدن رخ دهد. زیرا در اینصورت با کاهش تحرکات زنجیری بر اثر جذب شدن سرعت رشد بلورها به شدت کاهش پیدا می کند.

در طیف XRD نانو کامپوزیت حاوی نانو الیاف پیوند خورده با پلی اتیلن گلیکول افزایش شدت پیک در ۱۶ درجه و باریک شدن آن مشاهده می شود، که نشان دهنده افزایش درصد بلورینگی نمونه و افزایش ضخامت بلورها می باشد. ایجاد فصل مشترک حاوی زنجیرهای پیوند خورده ای پلی اتیلن گلیکول، زنجیرهای پلی اتیلن گلیکول آزاد و زنجیرهای پلی لاتکتیک اسید باعث افزایش انرژی حرارتی زنجیرهای پلی لاتکتیک اسید در اطراف فصل مشترک شده و ضخامت بلورها در این نواحی افزایش پیدا می کند. وانگ و همکاران مشاهده کردند که به دلیل تمايل ترمودینامیکي، بخشی از زنجيرهای پلی اتیلن گلیکول آزاد در حين تشکيل بلور به مناطق غني از پلی اتیلن گلیکول در سطح نانوالياف در نانو کامپوزیت مهاجرت می کند [۲۱]. زیرا بلورینگی نیز خود جدایي فازی به حساب می آيد و منجر به شکل گیری فصل مشترک در سیستم می شود که قابلیت انعطاف و اتلاف بالایی دارد. بالا بودن انرژی حرارتی سیستم در این نواحی به سبب وجود زنجیرهای پلی اتیلن گلیکول آزاد و بهبود بهمکتش نانو الیاف با زنجیرهای پلی لاتکتیک اسید در اثر پیوند خوردن زنجیرهای پلی اتیلن گلیکول، سطح نانو الیاف را به یک بستر ایده ال برای رشد کریستال ها β تبدیل می کند. پیک مشاهده شده در طیف XRD برای نمونه های P/AC CNF & P/CNF-g-PEG CNF-g-PEG در ۳۱، ۲۳ درجه می تواند نشان دهندهی تشکيل اين نوع کریستال ها باشد. سایر پیک های مشاهده شده در طیف حاصل از نانو کامپوزیت های تهیه شده در محدوده های ۱۶، ۷ و ۱۹، ۱ و ۲۹، ۱۴

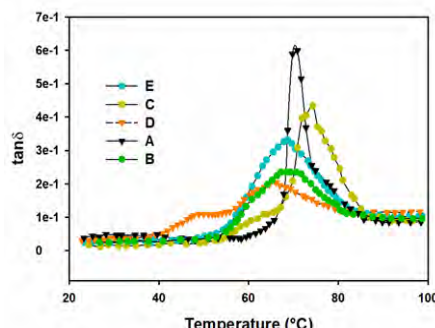
جدول ۴: زاویه تماس برای فیلم های تهیه شده

نانو الیاف سلولز استیله شده	نانو الیاف سلولز زاویه هی تماس (۱۱۵ درجه)	پلی لاتکتیک اسید خالص زاویه هی تماس (۱۵۸ درجه)

سطح نانوالياف میباشد. در منحنی نانو کامپوزیت P/CNF-g-PEG ارتفاع پیک $\tan\delta$ نسبت به نمونه‌ی حاوی نانوالياف سلولز کاهش یافته است، که میتواند به دلیل بهبود پراکنش نانوالياف با طول بالاتر (نسبت سطح به حجم بالاتر)، عدم انعطاف پذیری نانوالياف به دلیل حفظ ساختار و درشت شدن بلورهای ماتریس پلیمری باشد. همچنین انتقال پیک $\tan\delta$ به دمای پایین تر در اثر وجود زنجیرهای پلی اتیلن گلیکول مشاهده میشود. شانه‌ی مشاهده شده برای نانو کامپوزیت P/CNF-g-PEG در سیستم پلیمری باشد. وجود کریستال‌های β در سیستم باشد. وجود کریستال‌های β میتواند باعث افزایش استحکام کششی و مدول ذخیره شود ولی به دلیل پایداری ترمودینامیکی پایین خود را به صورت شانه در منحنی $\tan\delta$ نشان می‌دهد [۳]. شانه‌ی ایجاد شده در نمونه‌ی حاوی نانوالياف استیله نیز میتواند مربوط به ریز شدن بسیار زیاد بخشی از نواحی بلورین باشد. در نانو کامپوزیت P/AC CNF & CNF-g-PEG به دلیل کاهش سطح انرژی زنجیرها در اثر ورود نانوالياف استیله شده کریستال‌های β به سختی و به مقدار ناچیز تشکیل میشوند به گونه‌ای که شانه دیگر در منحنی $\tan\delta$ مشاهده نمیشود.

۴) نتیجه گیری

در این پژوهش اصلاح نانوالياف سلولزی با دو روش استیله کردن و اتصال پلی اتیلن گلیکول روی سطح نانوالياف انجام گرفت. حفظ ساختار بلورین نانوالياف در نتایج XRD برای نانوالياف پیوند خورده با پلی اتیلن گلیکول مشاهده شد. درصد پیوند خوردن نانوالياف پایین است. به همین دلیل تمام پیوندهای هیدروژنی بین نانوالياف از بین نمی‌رود. و الیاف رفتار شکننده از خود نشان می‌دهند. که باعث ایجاد کلوجه در ماتریس پلی لاتکتیک اسید می‌شود. به دلیل وارد شدن زنجیرهای پلی اتیلن گلیکول با انرژی‌های حرارتی بالا، درصد بلورینگی و اندازه‌ی بلورهای نانو



شکل ۷) نتایج حاصل از تست آنالیز حرارتی مکانیکی برای (A) پلی لاتکتیک اسید خالص، (B) P/AC CNF (C) P/CNF (D) P/AC CNF-g-PEG (E) و P/CNF-g-PEG

شکل پلاستیک و عدم وجود کلوجه در تصاویر SEM گرفته شده در نمونه P/AC CNF به چشم می‌خورد. در نانو کامپوزیت P/AC CNF & CNF-g-PEG تغییر شکل پلاستیک کمتری از نمونه P/AC CNF مشاهده می‌شود. همچنین کلوجه‌های ناشی از نانوالياف مشاهده می‌شود که مانع از تغییر شکل پلاستیک بالا در نمونه می‌شوند این وجود با توجه به تصاویر SEM به نظر می‌رسد اندازه‌ی کلوجه‌ها کاهش پیدا کرده است که میتواند به دلیل بهبود سازگاری نانوالياف پیوند خورده با ماتریس پلیمری در اثر ورود نانوالياف استیله شده و کاهش درصد وزنی نانوالياف پیوند خورده با پلی اتیلن گلیکول در سیستم باشد. وجود حفره‌های بزرگ در نمونه‌های حاوی نانوالياف پیوند خورده با پلی اتیلن گلیکول می‌تواند به دلیل قابلیت تغییر شکل بالای فصل مشترک ایجاد شده در نانو کامپوزیت حاصل باشد. که به دلیل وجود زنجیرهای پلی اتیلن گلیکول افزایش در این نواحی، قبل از پاره شدن، به میزان بالایی تغییر شکل پیدا می‌کند و در نهایت از فصل مشترک خارج می‌شوند و حفره به شدت بزرگ شده و باعث تمرکز تنفس و پاره شدن فیلم می‌شود.

در منحنی‌های مربوط به $\tan\delta$ (شکل ۷) با اضافه کردن نانوالياف سلولزی، ارتفاع پیک $\tan\delta$ نسبت به پلیمر خالص کاهش پیدا کرده است، که نشان دهنده برهمنکنش نسبی بین نانوالياف و زنجیرهای پلیمر می‌باشد. همانطور که در شکل ۷ دیده می‌شود با اضافه کردن نانوالياف استیله شده به ماتریس شدت پیک در منحنی $\tan\delta$ افزایش می‌یابد. همچنین، یک شانه نسبت به نانوالياف اصلاح نشده نیز مشاهده می‌شود. ریز شدن بلورها، منعطف عمل کردن نانوالياف و کاهش نسبت سطح به حجم نانوالياف در اثر کاهش طول الیاف حین استیله شدن می‌تواند دلیل این پدیده باشد. علاوه بر این، پیک $\tan\delta$ به دمای بالاتر منتقل شده است که نشان دهنده جذب شدن زنجیرها روی

نمونه ها	۳ میکرومتر	۲۰ میکرومتر
پلی لاتکتیک اسید خالص	B	A
P/CNF	D	C
P/AC CNF	F	E
P/CNF-g-PEG	H	G
P/AC CNF & CNF-g-PEG	J	I

شکل ۶) تصاویر SEM از سطح شکست نمونه ها

(۵) مراجع

- [1] Y. H. M. M. P. D. Rquez, "Laboratory of Polymeric and Composite Materials, Center of Innovation and Research in Materi," *Progress in Polymer Science*, vol. 38, p. 1504–1542, 2013.
- [2] حاجی بیگی م؛ شعبانیان م، بهبود خواص عبور دهنده بخار آب و اکسیژن فیلم های پلی لاكتیک اسید با استفاده از پلیمر شبکه ای تهیه شده از -۲-اکریل آمیدو- متیل پروپان سولفونیک اسید، نشریه مواد پیشرفته و پوشش های نوین، ۱۳۹۵، ۱۸، ۵
- [3] مرآتی ع؛ طیفی م؛ زمانی ف؛ قنبری آلانق ح؛ نادی پور ف، افزایش آبدوستی لایه ای نانولیفی الکترورسی شده پلی لاكتیک گلایکولیک اسید، نشریه مواد پیشرفته و پوشش های نوین، ۱۳۹۶، ۲۰، ۵
- [4] زمانی ف؛ امانی تهران م، تولید لایه نانولیفی زیست سازگار رسانا آمیزه پلیمرهای PLGA/PCL/PANI نشریه مواد پیشرفته و پوشش های نوین، ۱۳۹۶، ۲۲، ۶
- [5] T. S. S. K. T. I. Shuji Fujisawa, "Surface Engineering of Ultrafine Cellulose Nanofibrils toward," *BiomacromoleculeS*, vol. 14, p. 1541–1546, 2013.
- [6] L. M. Cintil Jose Chirayil, "REVIEW OF RECENT RESEARCH IN NANO CELLULOSE PREPARATION FROM DIFFERENT LIGNOCELLULOSIC FIBERS," *Mater. Sci*, vol. 37, pp. 20-28, 2014.
- [7] J. G. A.K. Bledzki, "Composites reinforced with cellulose based fibres," *Prog. Polym*, vol. 24, p. 221–274, 1998.
- [8] J. B. Gilberto Siqueira, "Cellulosic Bionanocomposites: A Review of Preparation Properties and Applications," *Polymers*, vol. 37, pp. 728-765, 2010.
- [9] X. W. , L. Yihong Wang, "Homogeneous Isolation of Nanocellulose from Cotton Cellulose by High Pressure Homogenization," *Materials Science and Chemical Engineering*, vol. 1, pp. 49-52 , 2013.
- [10] M. N. B. Karim Missoum, "Nanofibrillated Cellulose Surface Modification: A Review," *materials*, vol. 6, pp. 1745-1766, 2013.
- [11] A. Isogai, "Wood nanocelluloses: fundamentals and applications as new bio-based nanomaterials," *Wood Sc*, vol. 59, p. 449–459, 2013.
- [12] Y. D. H.P.S. Abdul Khalil, "Production and modification of nanofibrillated cellulose using various mechanical processes: A review," *Carbohydrate Polymers*, vol. 99, p. 649– 665, 2014.
- [13] M. M. A. Mohammad Tajul Islam, " REVIEW on MODIFICATION of NANOCELLULOSE for APPLICATION in COMPOSITES," *International Journal of Innovative Research in Science Engineering and Technology* , vol. 2, no. 10, 2013 .
- [14] M. B. Alireza Ashori, "Solvent-free acetylation of cellulose nano fiber for improving campability and dispersion," *Carbohydrate Polymers*, vol. 6, p. 369– 375, 2014.
- [15] A. P. M. , M. A. Mehdi Jonoobi, "A Comparison of Modified and Unmodified Cellulose Nanofiber Reinforced Polylactic Acid (PLA) Prepared by Twin Screw Extrusion," *J Polym Environ*, vol. 20, pp. 991-997, 2012.
- [16] K. a. K. Mindaugas Bulota, "Acetylated Microfibrillated Celulose as a Toughening Agent in Poly(lactic acid)," *Applied Poly-*

کامپوزیت تهیه شده افزایش پیدا می کند. به دلیل وجود زنجیرهای پلی اتیلن گلیکول ازاد در فصل مشترک، فصل مشترک قابلیت تغییر شکل بالا پیدا می کند. کاهش طول نانو الیاف در اثر استیله شدن و کاهش گره خوردگی نانو الیاف که باعث باز شدن کلوجهها می شود و در تصاویر SEM نمونه های تهیه شده کلوجه مشاهده نشد. در نانو الیاف پیوند خورده با پلی اتیلن گلیکول، به دلیل ممانعت فضایی ایجاد شده برای گروههای مالئیکه ای ایجاد شده، درصد مالئیکه شدن سطح برای حفظ ساختار بلورین نانو الیاف و حفظ خواص مکانیکی نانو الیاف بهینه شد. کاهش پیوندهای هیدروژنی بین نانو الیاف و منعطف عمل کردن آنها در اثر استیله شدن که در آزمون خواص مکانیکی حرارتی به صورت افزایش $\tan\delta$ و افت مدول ذخیره مشاهده شد. افت خواص مکانیکی نانو الیاف در اثر تخریب مناطق بلورین و ریز شدن بلورها که در نتایج DSC و XRD هم مشاهده شد.

- posite," *Polymer Testing*, vol. 35, pp. 73-79, 2014.
- [34] K. a. K. Mindaugas Bulota, "Acetylated Microfibrillated Cellulose as a Toughening Agent in Poly(lactic acid)," *Applied Polymer Science*, vol. 126, p. E448–E457, 2012.
- [35] R. K. C. WeiDan Ding, "Non-isothermal crystallization behaviors of poly(lactic acid)/cellulose nanofiber composites in the presence of CO," *European Polymer Journal*, vol. 71, pp. 231-247, 2015.
- [36] A. N. N. Lisman Suryanegara, "The effect of crystallization of PLA on the thermal and mechanical properties of microfibrillated cellulose-reinforced PLA composites," *Composites Science and Technology*, vol. 69, p. 1187-1192, 2009.
- [37] W. L. Xiuju Zhang, "Studies on confined crystallization behavior of nanobiocomposites consisting of acetylated bacterial cellulose and poly (lactic acid)," *Thermoplastic Composite Materials*, vol. 26, p. 346-361, 2011.
- [38] K. T. Yanan Song, "Crystallization behavior of poly(lactic acid)/microfibrillated cellulose composite," *Polymer*, vol. 54, p. 3417, 2013.
- [39] Y. X. Yaming Wang, "Nucleation density reduction" effect of biodegradable cellulose acetate butyrate on the crystallization of poly(lactic acid)," *Materials Letters*, vol. 2014, p. 85–88, 128.
- [40] Y. S. Jing-Hui Yang, "Synergistic Effect of Poly(ethylene glycol) and Graphene Oxides on the Crystallization Behavior of Poly(L-lactide)," *APPL. POLYM*, vol. 130, pp. 3498-3508, 2013.
- [41] C. Q. Q. Z. Xiaoling Gao, "Brittle-Ductile Transition and Toughening Mechanism in POM/TPU/CaCO₃ Ternary Composites," *Macromol. Mater. Eng.*, vol. 289, pp. 41-48, 2004.
- [42] F. L. L. J. Xuezhu Xu, "Cellulose Nanocrystals vs. Cellulose Nanofibrils: A Comparative Study on Their Microstructures and Effects as Polymer Reinforcing Agents," *Appl. Mater.*, vol. 25, pp. 831-826, 2013.
- [43] A. Galeski, "Strength and toughness of crystalline polymer systems," *Prog. Polym. Sci.*, vol. 28, p. 1643–1699, 2003.
- [44] S. B. J.-F. C. A.N. Frone, "Cellulose Fiber-Reinforced Poly-lactic Acid," *POLYMER COMPOSITES*, vol. 8, pp. 976-985, 2011.
- [45] T. Z. Philippe Tingaut, "Synthesis and Characterization of Bi-onanocomposites with Tunable Properties from Poly(lactic acid) and Acetylated Microfibrillated Cellulose," *Biomacromolecules*, vol. 11, p. 454–464, 2010.
- [46] S. B. L. Sung Wook Hwang, "Grafting of maleic anhydride on poly(L-lactic acid). Effects on physical and mechanical properties," *Polymer Testing*, vol. 31, p. 333–344, 2012.
- [47] L. C. J. M. A. Segal, "An empirical method for estimating the degree of crystallinity of native cellulose using the X-ray diffractometer," *Textile Research*, vol. 29, pp. 786-794, 1959.
- [48] U. a. G. N. Holzwarth, "The Scherrer equation versus the 'Debye-Scherrer equation,'" *Nature Nanotechnology*, vol. 9, pp. 534-534, 2011.
- mer Science, vol. E448–E457, p. 126, 2012.
- [17] S. L. M. J. Tingju Lu, "Effects of modifications of bamboo cellulose fibers on the improved mechanical properties of cellulose reinforced poly(lactic acid) composites," *Composites*, vol. 62, pp. 191-197, 2014.
- [18] A. P. Mercedes Peltzerm, "Surfacemodification of cellulose nanocrystals by grafting with poly(lactic acid)," *Polym Int*, vol. 63, p. 1056–1062, 2013.
- [19] D. P. Istva'n Siro, "Microfibrillated cellulose and new nanocomposite materials," *Cellulose*, vol. 17, pp. 459-494, 2010.
- [20] W. Z. Jiwen Wang, "Poly(Ethylene Glycol) Grafted Starch Introducing a Novel Interphase in Poly(Lactic Acid)/Poly(Ethylene Glycol)/Starch Ternary Composites," *J Polym Environ*, vol. 20, p. 528–539, 2012.
- [21] K. O. Daniel Bondeson, "Polylactic acid/cellulose whisker nanocomposites modified by polyvinyl alcohol," *Composites*, vol. 38, p. 2486–2492, 2007.
- [22] X. D. Z. Zhao Qian Li, "Preparation and Characterization of Bacterial Cellulose/Polylactide Nanocomposites," *Polymer-Plastics Technology and Engineering*, vol. 49, p. 141–146, 2010.
- [23] L. J. a. B. R. Farrington D.W., *Poly(lactic acid) Fibres, Biodegradable and Sustainable Fibres*, England: CRC, 2005.
- [24] H. B. A. a. I. Y. A. Abdul Khalil, "Green composites from sustainable cellulose nanofibrils: A review," *Carbohydrate Polymers*, vol. 87, pp. 963-979, 2012.
- [25] H. M. L. H. a. P. C. Saeidlou S., "Poly(lacticacid) Crystallization," *J. Prog. Polym. Sci.*, vol. 12 , no. 37, pp. 1657-1677, 2012.
- [26] M. L. Elham Eslahi Nowpashani, "Production of Polylactic Acid (PLA) from Biomass: A Review," *رسانه علمی پژوهشی*, vol. 3, pp. 66-75, 2013.
- [27] J. L. a. Z. J, "Biodegradable Polymers and Polymer Blends," *Journal of Handbook of Biopolymers and Biodegradable Plastics*, vol. 10, pp. 109-128, 2013.
- [28] S. X. L. C. a. F. M. Wang N., *Synthesis, Characterization, Biodegradation, and Drug Delivery Application of Biodegradable Lactic/Glycolic Acid Polymers: I. Synthesis and Characterization*, *J. Biomat. Sci.*, Ed., 11, p. 301.
- [29] O. T. I. K. H. H. Harada M., "Increased Impact Strength of Biodegradable Poly(lactic acid)/Poly(butylene succinate) Blend Composites by Using Isocyanate as a Reactive Processing Agent," *J. Appl.Polym. Sci.*, vol. 106, pp. 1813-1820, 2007.
- [30] N. K. J. a. W. R. H. Jung Wee Y., "Biotechnological Production of Lactic Acid and Its Recent Applications, Food Technology," *Biotechnology*, vol. 44, pp. 163-172, 2006.
- [31] M. Shimao, "Biodegradation of plastics," *Curr Opin Biotech*, vol. 12, pp. 242-247, 2001.
- [32] Y. N. Dae-Young Kim, "Surface acetylation of bacterial cellulose," *Cellulose*, p. 361–367, 2002.
- [33] J. H. Ali Abdulkhani, "Preparation and characterization of modified cellulose nanobers reinforced polylactic acid nanocom-



- [49] W. Z. H. Z. C. P. J. Wang, "Continuous processing of low-density, microcellular poly(lactic acid) foams with controlled cell morphology and crystallinity," *Chem. Eng. Sci.*, vol. 75, p. 390–399, 2012.
- [50] N. T. P. Ö. Cetin, "Acetylation of cellulose nanowhiskers with vinyl acetate under moderate conditions," *Macromolecular Bioscience*, vol. 9, pp. 997-1003, 2009.
- [51] M. a. F. R. Adebajo, "Infrared and ^{13}C MAS nuclear magnetic resonance spectroscopic study of acetylation of cotton. *Spectrochimica Acta Part A*," *Molecular and Biomolecular Spectroscopy*, vol. 60, pp. 449-453, 2004.
- [52] R. B. Mohamed Abdel Salam, "Synthesis and characterization of multi-walled," *Arabian Journal of Chemistry*, vol. 12, pp. 3-6, 2012.